

Spatio-Temporal Real-Time Analysis of Dynamic Scenes in the RoboCup 3D Soccer Simulation League

Diplom-Kolloquium

Tobias Warden | warden@tzi.de

Technologiezentrum Informatik (TZI), FB3 Universität Bremen

10. Dezember 2007

1 Einführung

- Motivation der Arbeit
- Verwandte Arbeiten

2 Analyse-Ansatz

- Aufgabenbereiche und Systemkontext
- Qualitatives Mapping
- Detektion ausgedehnter Bewegungssituationen

3 Evaluation

- Precision & Recall der Detektion von Bewegungsmustern
- Laufzeitperformanz des Systems (Realzeit & Simulation)
- Einfluss wichtiger Designentscheidungen

4 Fazit und Ausblick

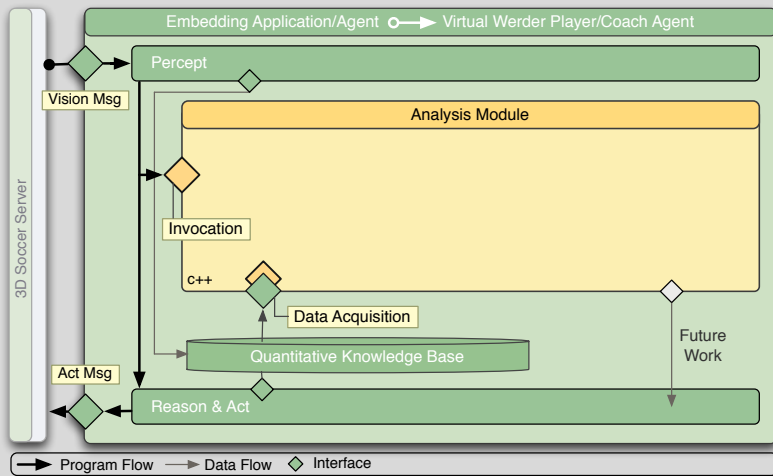
Grundmotivation

- Entwicklung des Virtual Werder RoboCup 3D SSL Teams ('04-'07)
- Spieler-Agenten pflegen umfassende quantitative Wissensbasis
- Wahrnehmung *hochdynamischen, kontinuierlichen Simulationszenarios* als *niederfrequente* Folge diskreter Momentaufnahmen (→ 5Hz)
- Wissen über ausgedehnte Bewegungssituationen *implizit* codiert
 - Potential der vorhandenen Datenbasis liegt teilweise brach
 - Mismatch zwischen menschlichem Spielverständnis und Agentensicht
 - Skill-/Verhaltensentwicklung ↔ Low-Level Programmierung
- *Skalierende, homogene* Detektion von Bewegungssituationen
 - Situationseigenschaften, Ereignisse, Aktionen, Sequenzen, ...
 - Präzise Formalisierung für Bewegungs-Templates
→ *Explizite Repräsentation von Hintergrund- & Expertenwissen*
 - Aufsetzend auf kompakter, qualitativer Szenenbeschreibung
- Verbesserte *Grounding Situation* von Spielern/Trainer

Auswahl von Vorarbeiten zur Analyse dynamischer Szenen

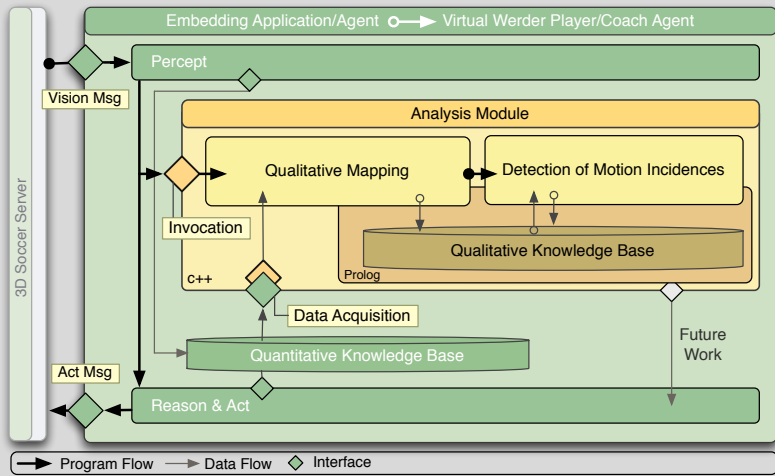
- ① *Probabilistische Erkennung taktischer Footballspielzüge*
 - S. Intille & A. Bobick [IB01]
- ② *Online-Unterstützung von Coaching-Aufgaben*
 - FIPM (RoboCup 2D SSL '06), M. Beetz et al. [BKL05]
- ③ *Analyse von Fußballspielen zur automatischen Kommentargenerierung*
 - SOCCER, G. Herzog [Her95], REPLAI, G. Retz-Schmidt [Ret92]
- ④ *Analyse dynamischer Szenen im Kontext von Verhaltensvorhersagen*
 - AT Humboldt, RoboCup 2D SSL, J. Wendler [Wen03], U. Müller [Mül02]
- ⑤ *Domänenübergreifende Analyse dynamischer Szenen (TZI)*
 - RoboCup 2D SSL, A. Miene [Mie04, MVH04]
 - Autonome Fahrzeuge (ASKOF), J. Gehrke [Geh05, GLH04]

Aufgabenbereiche und Systemkontext



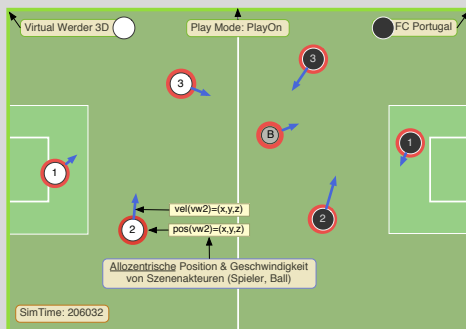
(→ Impl.)

Aufgabenbereiche und Systemkontext



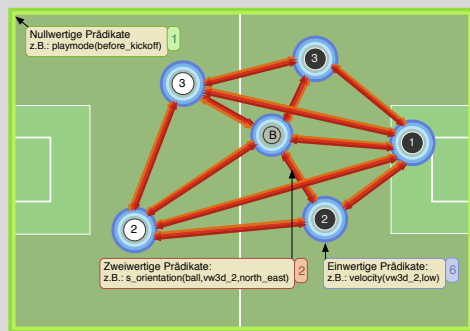
(→ Impl.)

Qualitative Szenenreräsentation → Fokussierung → Mapping



Qualitative Szenenreräsentation → Fokussierung → Mapping

- Szenenbeschreibung folgt Vorschlägen für 2D SSL [Mie04]
 - 3. Dimension (\rightarrow Ball)
 - Minimale Relationenmenge
 - Analyse *relevanten Szenenausschnitts*
 - Einschränkung durch Ballorientierung
 - Flexibel erweiterbare Fokussierung [Ret91]
 - Hochkonfigurierbare Klassifikation
 - Univariate ZR mit offenem \rightarrow Stabil gegen Oszillation
 - zweistufiges Vorgehen für b...
 - Erzeugung von Fakten: *Explizite*



Qualitative Szenenreäsentation → Fokussierung → Mapping

- Szenenbeschreibung folgt Vorschlägen für 2D SSL [Mie04]
 - 3. Dimension (\rightarrow Ball)
 - Minimale Relationenmenge
 - Analyse relevanten Szenenausschnitts
 - Einschränkung durch Ballorientierung
 - Flexibel erweiterbare Fokussierung [Ret91]
 - Hochkonfigurierbare Klassifikation
 - Univariate ZR mit offenem \rightarrow Stabil gegen Oszillation
 - zweistufiges Vorgehen für k
 - Erzeugung von Fakten: *Explizite*

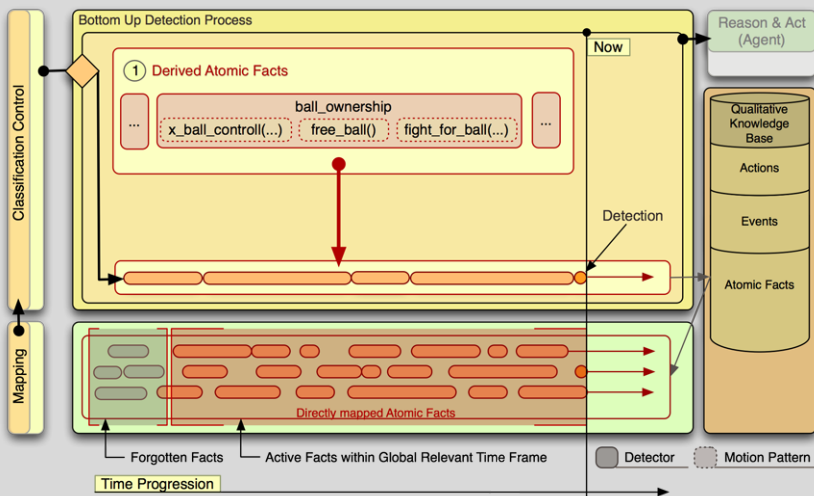


Qualitative Szenenrepräsentation → Fokussierung → Mapping

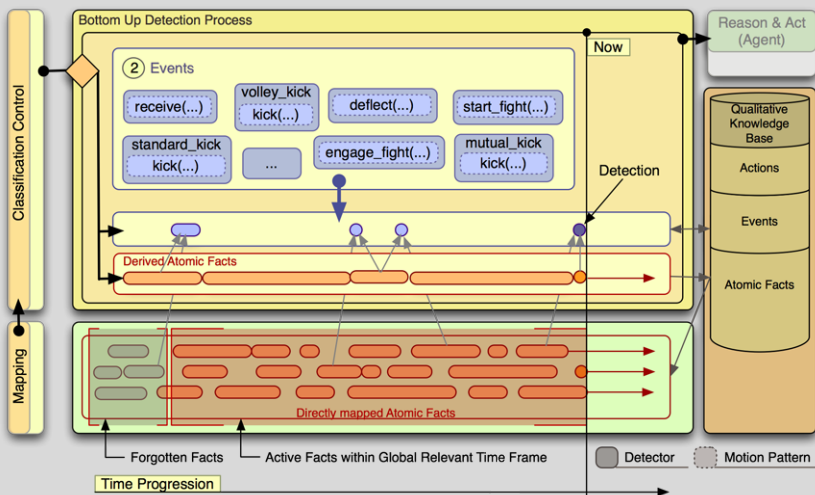
- Szenenbeschreibung folgt Vorschlägen für 2D SSL [Mie04]
 - 3. Dimension (\rightarrow Ball)
 - Minimale Relationenmenge
 - Analyse relevanten Szenenausschnitts
 - Einschränkung durch Ballorientierung
 - Flexibel erweiterbare Fokussierung [Ret91]
 - Hochkonfigurierbare Klassifikation quantitativer Zeitreihen (ZR)
 - Univariate ZR mit offenem oder zyklischem Wertebereich
 \rightarrow Stabil gegen Oszillation durch Intervall-Hysteresis [SWW05]
 - zweistufiges Vorgehen für bivariate ZR (z.B. Aufenthaltsregionen)
 - Erzeugung von Fakten: Expliziter Abschluss \leftrightarrow Verlängerung [Geh05]



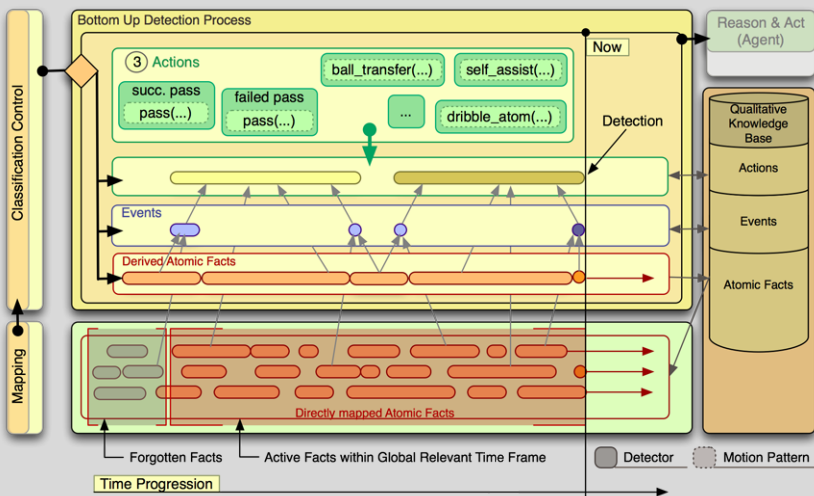
Umfang und Ablauf der Detektion von Bewegungssituationen



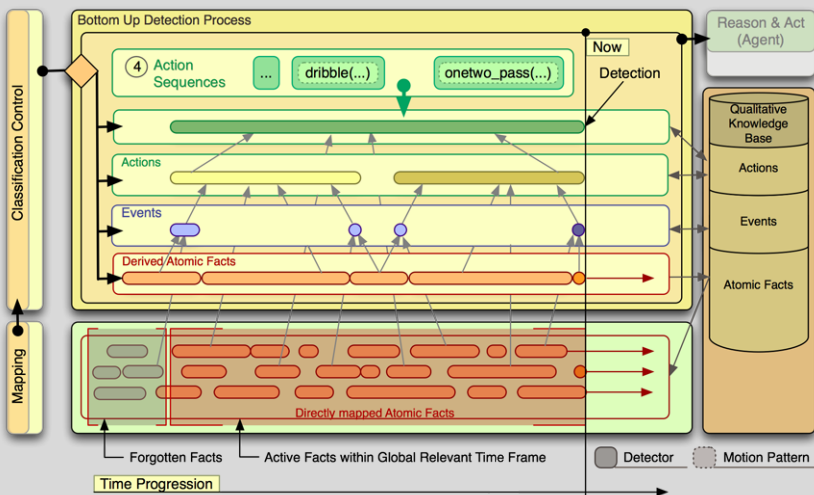
Umfang und Ablauf der Detektion von Bewegungssituationen



Umfang und Ablauf der Detektion von Bewegungssituationen



Umfang und Ablauf der Detektion von Bewegungssituationen



Konzeptionelle Grundlage der Detektion von Bewegungssituationen

① Knowledge Engineering

- *Logisch-formale Spezifikation* domänenspezifischer Bewegungsmuster (→ Bsp.)
- Abbildung in Deklarative Programmierung (Prolog)

② Bewegungssituationen detektieren ↔ Räumlich-zeitliches Pattern Matching

- XSB Prolog als logisches Inferenzsystem
 - Implementierung räumlicher und zeitlicher Relationen (Allen, Freksa)
 - Danach Ausnutzung von Standard-Backtracking-Algorithmen
- Retrospektive Detektion von Bewegungssituationen (→ *kategorisches Wissen*)
 - Vermeidet Formulierung/Verfolgung von *Bewegungshypothesen*
 - Inkrementelle Detektion selbstähnlicher Aktionssequenzen
- Differenzierte Charakterisierung von Bewegungssituationen
- Explizite Behandlung mehrdeutiger Detektion derselben Bewegungssituation

Konzeptionelle Grundlage der Detektion von Bewegungssituationen

① Knowledge Engineering

- *Logisch-formale Spezifikation* domänenspezifischer Bewegungsmuster (→ Bsp.)
- Abbildung in Deklarative Programmierung (Prolog)

② Bewegungssituationen detektieren ↔ *Räumlich-zeitliches Pattern Matching*

• XSB Prolog als logisches Inferenzsystem

- Implementierung räumlicher und zeitlicher Relationen (Allen, Freksa)
- Danach Ausnutzung von Standard-Backtracking-Algorithmen

• Retrospektive Detektion von Bewegungssituationen (→ *kategorisches Wissen*)

- Vermeidet Formulierung/Verfolgung von *Bewegungshypothesen*
- Inkrementelle Detektion selbstähnlicher Aktionssequenzen

• Differenzierte Charakterisierung von Bewegungssituationen

• Explizite Behandlung mehrdeutiger Detektion derselben Bewegungssituation

Konzeptionelle Grundlage der Detektion von Bewegungssituationen

① Knowledge Engineering

- *Logisch-formale Spezifikation* domänenspezifischer Bewegungsmuster (→ Bsp.)
- Abbildung in Deklarative Programmierung (Prolog)

② Bewegungssituationen detektieren ↔ *Räumlich-zeitliches Pattern Matching*

• XSB Prolog als logisches Inferenzsystem

- Implementierung räumlicher und zeitlicher Relationen (Allen, Freksa)
- Danach Ausnutzung von Standard-Backtracking-Algorithmen

• Retrospektive Detektion von Bewegungssituationen (→ *kategorisches Wissen*)

- Vermeidet Formulierung/Verfolgung von *Bewegungshypothesen*
- Inkrementelle Detektion selbstähnlicher Aktionssequenzen

• Differenzierte Charakterisierung von Bewegungssituationen

• Explizite Behandlung mehrdeutiger Detektion derselben Bewegungssituation

Ablauf der Detektion – Unkonditionierte Aktivierung vs. Begründete Aktivierung

① Unkonditionierte Aktivierung

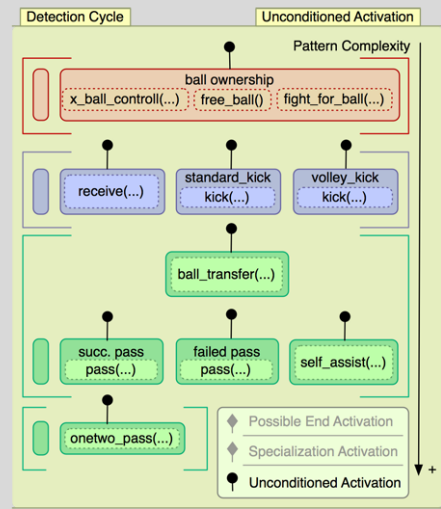
- ⊖ ignoriert Aktivierungskontext
- ⊖ Bewegungssituationen als isolierte Entitäten

② Spezialisierungs-Aktivierung

- ⊕ vorgegebener Zeitrahmen
- ⊕ Prüfung zusätzlicher Constraints

③ Mögliche-Ende-Aktivierung

- ⊕ Aktivierung bedingt Fund potentiellen Situationsendes
- ⊕ Mehrfachaktivierung möglich
- ⊕ Expertenwissen über Musterkomposition steigert Detektions-Effizienz



Ablauf der Detektion – Unkonditionierte Aktivierung vs. Begründete Aktivierung

① Unkonditionierte Aktivierung

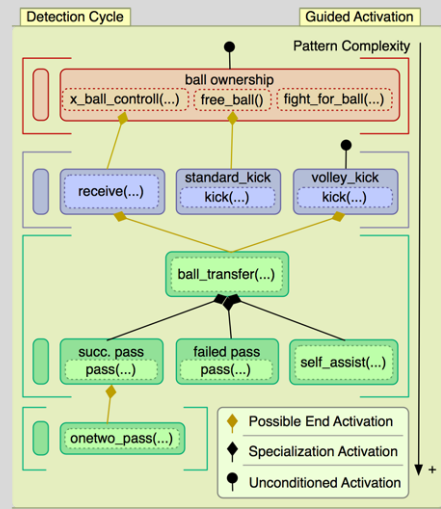
- ⊖ ignoriert Aktivierungskontext
- ⊖ Bewegungssituationen als isolierte Entitäten

② Spezialisierungs-Aktivierung

- ⊕ vorgegebener Zeitrahmen
- ⊕ Prüfung zusätzlicher Constraints

③ Mögliches-Ende-Aktivierung

- ⊕ Aktivierung bedingt Fund potentiellen Situationsendes
- ⊕ Mehrfachaktivierung möglich
- Expertenwissen über Musterkomposition steigert Detektions-Effizienz



Evaluation

Struktur

- ① Precision & Recall der Detektion von Bewegungsmustern...
 - ① Präzise Sicht des Coach-Agenten
 - ② Verrauschte Sicht eines Spieler-Agenten (Mittelfeld)
- ② Laufzeitperformanz des Systems (Realzeit & Simulation)
- ③ Einfluss wichtiger Designentscheidungen

Part I – Precision & Recall bei der Detektion von Bewegungsmustern

Precision & Recall unter Coach-Sicht – Auswertung

Motion Class	Type	#P _{System}	#P _{Truth}	# \cap	m _{prec}	m _{rec}
Virtual Werder 3D vs. FC Portugal (Game 1, 1 st Half)					1500 analysis cycles	
kick	event	62	67	62	1.0	0.925
collective kick	event	4	2	2	0.5	0.667
receive	event	78	76	76	0.974	1.0
ball_transfer	action	59	65	57	0.966	0.877
pass (success)	action	17	19	16	0.941	0.842
pass (failure)	action	23	28	23	1.0	0.821
self_assist	action	18	18	18	1.0	1.0
Virtual Werder 3D vs. SEU (Game 2, 2 nd Half)					1500 analysis cycles	
kick	event	63	71	63	1	0.887
collective kick	event	1	1	1	1.0	1.0
receive	event	83	83	79	0.951	0.951
ball_transfer	action	60	69	57	0.95	0.826
pass (success)	action	36	41	36	1.0	0.878
pass (failure)	action	16	20	14	0.875	0.7
self_assist	action	8	8	7	0.875	0.875
Accumulated Results (Corresponds to Full Game)					3000 analysis cycles	
kick	event	125	138	125	1.0	0.905
collective kick	event	5	4	3	0.6	0.75
receive	event	161	159	155	0.963	0.974
ball_transfer	action	119	134	114	0.957	0.850
pass (success)	action	53	60	52	0.981	0.866
pass (failure)	action	39	48	37	0.948	0.771
self_assist	action	26	26	25	0.961	0.961

header notation: m_{prec}: precision, m_{rec}: recall, #P_{xy}: detections by 'xy', # \cap : mutual detections

Aufgedeckte Probleme

- ① Extrem dynamisches Spielsystem, 'berührungsfreies' Schiessen (SEU)
→ Unvollständige Antizipation möglicher Bewegungssituationen
- ② Detektion erfolgt teilweise übereilt (→ Ballannahme vs. Ballpassage)

Precision & Recall unter Coach-Sicht – Vergleichende Einordnung

- Analysequalität ist bei größerer Szenenkomplexität der (Offline!)Implementierung für RoboCup 2D SSL beinahe ebenbürtig!

Aufgedeckte Probleme

- ① Extrem dynamisches Spielsystem, 'berührungsfreies' Schiessen (SEU)
→ Unvollständige Antizipation möglicher Bewegungssituationen
- ② Detektion erfolgt teilweise übereilt (→ Ballannahme vs. Ballpassage)

Precision & Recall unter Coach-Sicht – Vergleichende Einordnung

Action Class	Analysis Miene (2D Sim)		Implemented Analysis (3D Sim)	
	m_{prec}	m_{rec}	m_{prec}	m_{rec}
pass (success)	0.955	0.933	0.981	0.866
pass (failure)	0.898	0.928	0.948	0.771
self_assist	1.000	0.955	0.961	0.961
cumulative/Δ	0.938/-	0.932/-	0.963/+0.025	0.866/-0.066

The diagram illustrates the cumulative performance metrics for both analysis methods. It shows arrows pointing from the 2D analysis results (Miene) to the corresponding 3D analysis results (Implemented). The 2D cumulative precision is 0.938 and recall is 0.932. The 3D cumulative precision is 0.963 and recall is 0.866.

- Analysequalität ist bei größerer Szenenkomplexität der (Offline!)Implementierung für RoboCup 2D SSL beinahe ebenbürtig!

Part I – Precision & Recall bei der Detektion von Bewegungsmustern

Precision & Recall unter Agenten-Sicht – Auswertung

Motion Class	Type	#P _{System}	#P _{Truth}	# \cap	m _{prec}	m _{rec}
Coach Data	Virtual Werder 3D vs. Aeolus (Game 4, 1 st Half)				1500 analysis cycles	
kick	event	50	53	47	0.94	0.887
collective kick	event	4	2	2	0.5	1.0
receive	event	64	50	50	0.938	0.938
ball_transfer	action	44	49	39	0.886	0.796
pass (success)	action	20	21	19	0.950	0.905
pass (failure)	action	20	23	17	0.850	0.739
self_assist	action	5	5	3	0.600	0.600
Agent Data	Virtual Werder 3D vs. Aeolus (Game 4, 1 st Half)				1500 analysis cycles	
kick	event	43	53	43	1.0	0.811
collective kick	event	5	2	1	0.2	0.5
receive	event	62	64	60	0.967	0.938
ball_transfer	action	38	49	35	0.921	0.714
pass (success)	action	20	21	17	0.850	0.810
pass (failure)	action	13	23	13	1.000	0.565
self_assist	action	6	5	5	0.833	1.000

header notation: m_{prec}: precision, m_{rec}: recall, #P_{xy}: detections by 'xy', # \cap : mutual detections

Hand-Tagged
Ground Truth

- Detektion bleibt robust gegenüber False Positives
- Erklärung der Verschlechterung von m_{rec}:
 - Initiale Ballbeschleunigung bei Schüssen oft nicht wahrgenommen

Aufgeschlüsselte Laufzeitperformanz gemessen in Realzeit – Kennzahlen

x3

VW3D vs.	Aeolus	Fantasia	WrightEagle	SEU	FC Portugal
Qualitative Abstraction					
Median	1.176	1.026	1.304	1.198	1.13
Q_5/Q_{95}	0.43/1.914	0.34/1.826	0.532/2.328	0.516/2.99	0.362/2.335
Min/Max	0.137/7.227	0.131/5.544	0.167/6.137	0.18/5.181	0.122/6.553
Mean±SD	1.297±0.692	1.12±0.57	1.395±0.652	1.275±0.562	1.242±0.677
Actors/cycle	8.147 ± 2.722	6.871 ± 2.52	8.564 ± 2.62	7.77 ± 2.11	8.339 ± 2.81
Relations/cycle	49.88 ± 16.55	12.1 ± 15.1	52.38 ± 15.73	47.61 ± 12.65	51.03 ± 16.83
Facts in KB	653.3 ± 194.5	588.64 ± 165.4	719.54 ± 180.16	687.07 ± 169.94	644.17 ± 221.08
Recognition of Motion Incidences					
Median	0.99	0.958	1.115	1.341	1.013
Q_5/Q_{95}	0.308/1.914	0.324/1.862	0.369/2.328	0.407/2.99	0.181/2.335
Min/Max	0.11/5.505	0.110/5.412	0.11/15.093	0.111/8.0	0.107/7.793
Mean±SD	1.027±0.599	1.0±0.553	1.218±0.786	1.478±0.924	1.137±0.717
Events/game	581.0	581.0	655.3	738.0	642.0
Events/cycle	1094.1 ± 104.0	1094.1 ± 104.0	0.218 ± 0.63	0.246 ± 0.66	0.214 ± 0.632
Actions/game	109.0	200.3	157.3	247.3	133.3
Actions/cycle	0.036 ± 0.239	0.07 ± 0.354	0.052 ± 0.316	0.0824 ± 0.41	0.04 ± 0.27
Complete Spatio-Temporal Analysis (QA&DE)					
Median	2.211	2.035	2.491	2.626	2.264
Q_5/Q_{95}	1.018/4.072	0.992/3.612	1.204/4.423	1.284/4.701	0.754/4.27
Min/Max	0.413/8.709	0.302/7.467	0.351/16.262	0.376/9.277	0.298/8.859
Mean±SD	2.324 ± 0.957	2.152 ± 0.812	2.612 ± 1.056	2.754 ± 1.113	2.379 ± 1.083

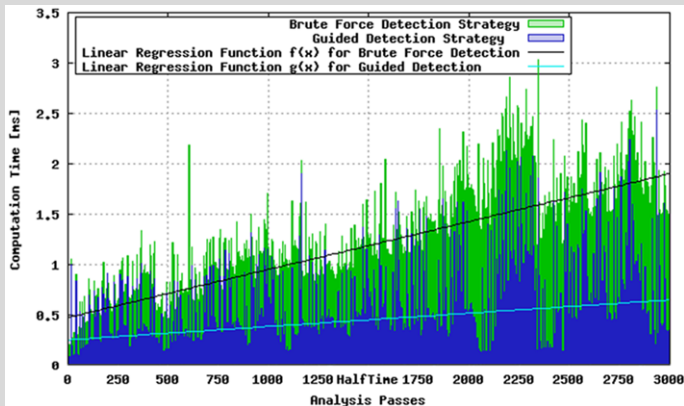
Akkumulierte Laufzeitperformanz gemessen in Simulationszeit – Kennzahlen

- Kontextinformation zur gemessenen Simulationszeit:

- Deliberations-Handlungs-Zyklus zwischen Wahrnehmungen: *20 SimSteps*
- Wahrnehmungsverarbeitung durch Spieler-Agenten: ca. *4 SimSteps*
- Durchlauf Entscheidungsbaum: *1 SimStep*

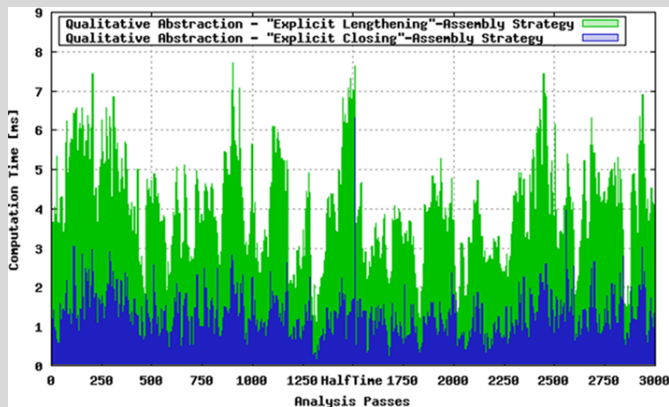
VW3D vs.	Aeolus	Fantasia	WrightEagle	SEU	FC Portugal
0 SimSteps	2847.0	2919.7	2757.7	2530.0	2729.3
1 SimSteps	153.0	80.3	242.3	470.0	270.7

Einfluss der Detektionsstrategie auf die Laufzeitperformanz



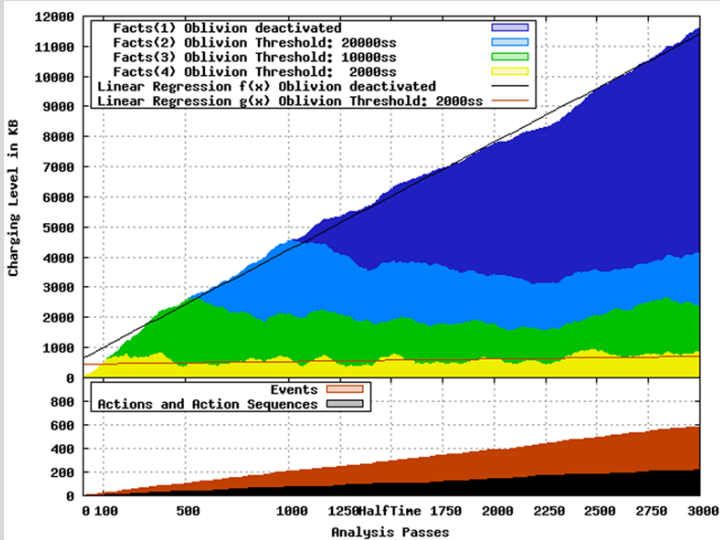
	Brute Force Bottom-Up	Guided Bottom-Up
Recognition of Motion Incidences		
Median	1.117	0.371
Q_5/Q_{95}	0.476/2.050	0.138/1.004
Min/Max	0.191/3.033	0.079/2.528
Mean±SD	1.189 ± 0.483	0.452 ± 0.289

Einfluss der Faktenerzeugung auf die Laufzeitperformanz

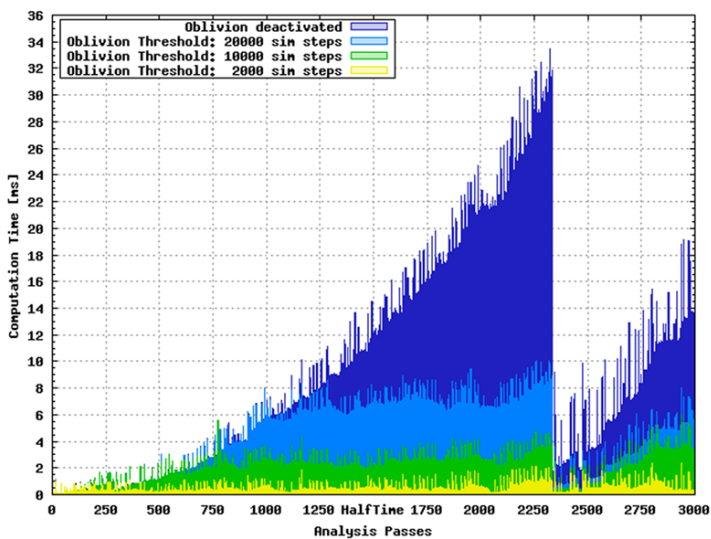


	Explicit Closing	Explicit Lengthening
Qualitative Abstraction		
Median	0.768	3.625
Q_5/Q_{95}	0.175/1.822	1.620/5.927
Min/Max	0.053/6.327	0.560/7.725
Mean±SD	0.859 ± 0.525	3.634 ± 1.274

Einfluss des Fakten-Vergessens – Füllstand der Wissensbasis ↔ Laufzeit



Einfluss des Fakten-Vergessens – Füllstand der Wissensbasis ↔ Laufzeit



Was wurde erreicht?

- Framework zur Erstellung/Pflege einer kategorischen, qualitativen Wissensbasis
 - ① Echtzeitfähigkeit
 - ② Domänenunabhängigkeit
 - ③ Hochkonfigurierbarer Funktionsumfang (Mapping & Detektion)
 - ④ Einfache Adaption des Musterpools
→ z.B. durch instruierten Domänenexperten ($\not\equiv$ Programmierer)
- Nachgewiesene der Anwendbarkeit in hochdynamischen Szenarien
 - unter *niederfrequenter* ($\rightarrow 5\text{Hz}$) präziser und verrauschter Sicht
 - 'Graceful Degradation' der Detektionsqualität

Konkrete Anwendung

- Carsten Elfers: "*Aktionsvorhersage durch relationale Hidden Markov Modelle auf der Basis einer qualitativen raumzeitlichen Repräsentation*" [Elf07]
 - Erfolgreiche Nutzung erstellter Detektionsprotokolle als Lern-Eingabe

Was wurde erreicht?

- Framework zur Erstellung/Pflege einer kategorischen, qualitativen Wissensbasis
 - ① Echtzeitfähigkeit
 - ② Domänenunabhängigkeit
 - ③ Hochkonfigurierbarer Funktionsumfang (Mapping & Detektion)
 - ④ Einfache Adaption des Musterpools
→ z.B. durch instruierten Domänenexperten ($\not\equiv$ Programmierer)
- Nachgewiesene der Anwendbarkeit in hochdynamischen Szenarien
 - unter *niederfrequenter* (→ 5Hz) präziser und verrauschter Sicht
 - 'Graceful Degradation' der Detektionsqualität

Konkrete Anwendung

- Carsten Elfers: "*Aktionsvorhersage durch relationale Hidden Markov Modelle auf der Basis einer qualitativen raumzeitlichen Repräsentation*" [Elf07]
 - Erfolgreiche Nutzung erstellter Detektionsprotokolle als Lern-Eingabe

Was wurde erreicht?

- Framework zur Erstellung/Pflege einer kategorischen, qualitativen Wissensbasis
 - ① Echtzeitfähigkeit
 - ② Domänenunabhängigkeit
 - ③ Hochkonfigurierbarer Funktionsumfang (Mapping & Detektion)
 - ④ Einfache Adaption des Musterpools
→ z.B. durch instruierten Domänenexperten ($\not\equiv$ Programmierer)
- Nachgewiesene der Anwendbarkeit in hochdynamischen Szenarien
 - unter *niederfrequenter* (→ 5Hz) präziser und verrauschter Sicht
 - 'Graceful Degradation' der Detektionsqualität

Konkrete Anwendung

- Carsten Elfers: "*Aktionsvorhersage durch relationale Hidden Markov Modelle auf der Basis einer qualitativen raumzeitlichen Repräsentation*" [Elf07]
 - Erfolgreiche Nutzung erstellter Detektionsprotokolle als Lern-Eingabe

Ansatzpunkte für Future Work

- ⊕ Aufgabenangemessenheit der qualitativen Szenenbeschreibung
- ⊕ Flexiblere Fokussierungsheuristiken (*multiple/dynamische Schlüsselobjekte*)
- ⊕ Detektion *taktischer Spielzüge*
- ⊕ *Hybride Datenbasis* → Nutzung aufbereiteten quantitativen Wissens [Wen03, Mus00]
 - Umsetzung erweiterter Differenzierung von Bewegungsmustern
- ⊕ Lerngestützte, (teil-)autonomer Erstellung & Optimierung von Bewegungsmustern
 - Assoziationsregellernen (*MiTEmP* [Lat07])
- ⊕ Kollaborative Erstellung einer globalen, konsistenten Wissensbasis
- ⊕ Expansion in neue Anwendungsdomänen
 - *Sport* → Analyse von Fernsehübertragungen [BGB⁺07]
 - *Biologie* → Analyse von Zell- oder Insekten-Bewegungen [BKV01]
- ⊕ Anbindung einer Planerkennung [BWE07]

Danke für die Aufmerksamkeit!

- Fragen, Anmerkungen, Kritik

Demo: Live-Analyse

- Regelkonformes (verkürztes) Spiel der RoboCup 3D SSL (VW3D vs. SEU)
- Coach-Agent analysiert das Spiel und schreibt Ergebnisse in Log-File
- Anzeige des Log-Fortschrittes.



Michael Beetz, Suat Gedikli, Jan Bandouch, Bernhard Kirchlechner, Nico von Hoyningen-Huene, and Alexander Perzylo.
Visually Tracking Football Games Based on TV Broadcasts.
In *IICAI*, 2007.



Michael Beetz, Bernhard Kirchlechner, and Martin Lames.
Computerized Real-Time Analysis of Football Games.
IEEE Pervasive Computing, 4(3):33–39, 2005.



Tucker Balch, Zia Khan, and Manuela Veloso.
Automatically Tracking and Analyzing the Behavior of Live Insect Colonies.

In Jörg P. Müller, Elisabeth Andre, Sandip Sen, and Claude Frasson, editors, *Proceedings of the Fifth International Conference on Autonomous Agents*, pages 521–528, Montreal, Canada, 2001. ACM Press.



Tjorben Bogon, Thomas Wagner, and Carsten Elfers.
Incremental Generation of Abductive Explanations for Tactical Behavior.

In Björn Gottfried, editor, *Proceedings of the Workshop on Behaviour Monitoring and Interpretation*, volume 296 of *CEUR Workshop Proceedings*, pages 117 – 128, 2007.



Carsten Elfers.
Aktionsvorhersage durch relationale Hidden Markov Modelle auf der Basis einer qualitativen raumzeitlichen Repräsentation.
Master's thesis, Universität Bremen, 2007.



Jan D. Gehrke.
Qualitative Szenenrepräsentation für intelligente Fahrzeuge.
Master's thesis, Universität Bremen, 2005.



Jan D. Gehrke, Andreas D. Lattner, and Otthein Herzog.
Qualitative Mapping of Sensory Data for Intelligent Vehicles.
Technical report, TZI - Center for Computing Technologies, Universität Bremen, 2004.



Gerd Herzog.
Utilizing Interval-Based Event Representations for Incremental High Level Scene Analysis.
Technical Report 91, Universität des Saarlandes, 1995.



Stephen S. Intille and Aaron F. Bobick.

Recognizing Planned, Multiperson Action.

Computer Vision and Image Understanding: CVIU, 81(3):414–445, 2001.



Andreas D. Lattner.

Temporal Pattern Mining in Dynamic Environments.

PhD thesis, Universität Bremen, Bremen, Germany, May 2007.



Andrea Miene.

Räumlich-zeitliche Analyse von dynamischen Szenen.

PhD thesis, Universität Bremen, 2004.



Uwe Thomas Müller.

Beschreiben und Erkennen von Verhaltensmustern beim simulierten Fußballspiel.

Master's thesis, Humboldt-Universität zu Berlin, Berlin, Germany, 2002.



Alexandra Musto.

Qualitative Repräsentation von Bewegungsverläufen.

PhD thesis, Technische Universität München, 2000.



Andrea Miene, Ubbo Visser, and Otthein Herzog.

Recognition and Prediction of Motion Situations Based on a Qualitative Motion Description.

In D. Polani, B. Browning, A. Bonarini, and K. Yoshida, editors, *RoboCup 2003: Robot Soccer World Cup VII*, volume 3020 of *Lecture Notes in Computer Science*, pages 77–88. Springer, 2004.



Gudula Retz-Schmidt.

Recognizing Intentions, Interactions, and Causes of Plan Failures.

In *User Modeling and User-Adapted Interaction*, volume 1, pages 173–202, The Netherlands, 1991. Kluwer Academic Publishers.



Gudula Retz-Schmidt.

Die Interpretation des Verhaltens mehrerer Akteure in Szenenfolgen.

Informatik-Fachberichte; Sub-Series: Artificial Intelligence; Thesis;. Berlin [a.o]: Springer, 1992.



Gerald Steinbauer, Jörg Weber, and Franz Wotawa.

From Real-world to its Qualitative Representation – Practical Lessons Learned.

In *18th International Workshop on Qualitative Reasoning*, pages 186–191, Graz, 2005.

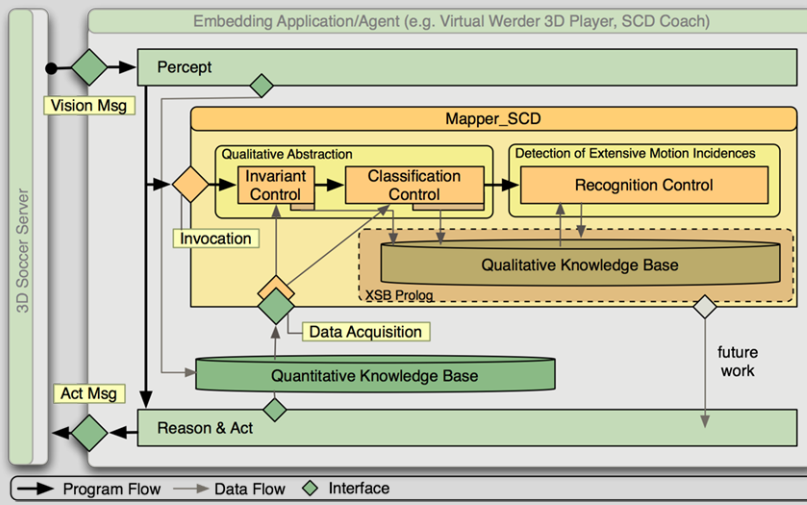


Jan Wendler.

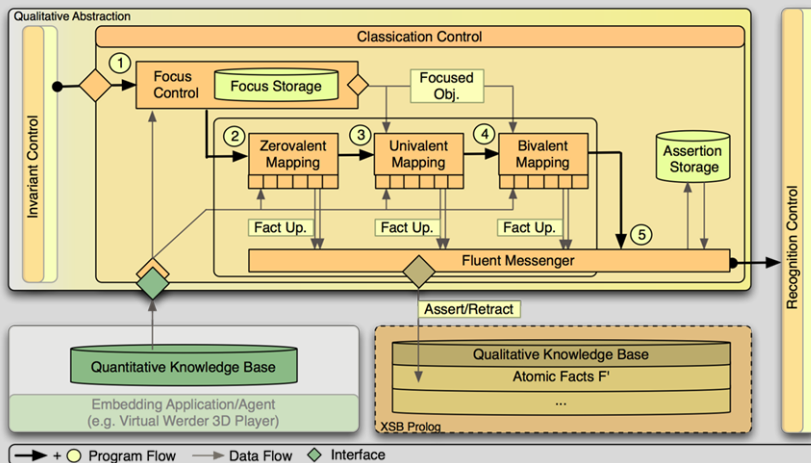
Automatisches Modellieren von Agenten-Verhalten: Erkennen, Verstehen und Vorhersagen von Verhalten in komplexen Multi-Agenten-Systemen.

PhD thesis, Humboldt-Universität zu Berlin, 2003.

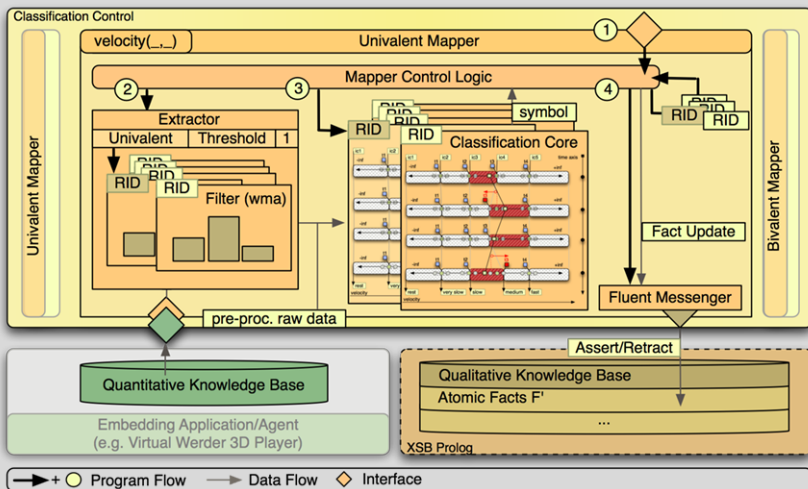
Konzeptioneller Überblick – implementierte SCD-System und Integration



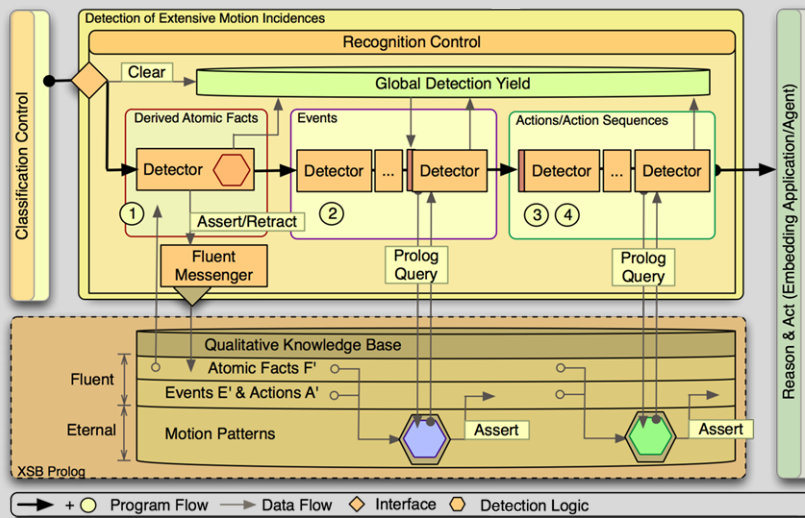
Konzeptioneller Überblick – Qualitatives Mapping



Konzeptioneller Überblick – Mapping Engine



Konzeptioneller Überblick – Detektion von Bewegungsmustern



Ereignis-Bewegungsmuster für den 'Standard-Kick'

reference diversification

$$OCCUR(kick(\overbrace{shooter}^{\text{reference}}, \overbrace{dir^{glob:8}, height}^{\text{diversification}}, \underbrace{std}_{\text{type}}), \langle s, e \rangle) \Leftarrow \quad (1)$$

$$FACT(\text{free_ball}, \langle e, \text{inf} \rangle) \quad (2)$$

$$\wedge \quad FACT(\text{acceleration(ball, increasing)}, \langle s, e_1 \rangle) \quad (3)$$

$$\wedge \quad DurationAtMax(\langle s, e \rangle, 40) \quad (4)$$

$$\wedge \quad FACT(\text{distance(ball, shooter, touch)}, \langle s_2, e_2 \rangle) \quad (5)$$

$$\wedge \quad (Meets(\langle s_2, e_2 \rangle, \langle s, e \rangle) \vee Contemporary_Of(\langle s_2, e_2 \rangle, \langle s, e \rangle)) \quad (6)$$

$$\wedge \quad HOLDS(\text{motion_Dir(ball, dir^{glob:8})}, \langle e, e + 1 \rangle) \quad (7)$$

$$\wedge \quad HOLDS(\text{sorientation(ball, shooter, dir}_2), \langle s, s + 1 \rangle) \quad (8)$$

$$\wedge \quad Opposite_Of(dir, dir}_2) \quad (9)$$

$$\wedge \quad HOLDS(\text{zposition_trend(ball, trend)}, \langle e, e + 1 \rangle) \quad (10)$$

$$\wedge \quad Translate \uparrow_{ztrend}^{height}(\text{trend}, height) \quad (11)$$

(→ Konz.)

Aktions-Bewegungsmuster für ein erfolgreiches 'Atomares Dribbling'

$\overbrace{\quad\quad}$ reference $\overbrace{\quad\quad}$ diversification
 $OCCURRING(dribble_atom(\overbrace{player}, \overbrace{dir^{team:6}, \underbrace{success}_{succ}}), \langle s, e \rangle) \Leftarrow$ (1)

- $OCCURRING(self_assist(player, dir^{team:6}), \langle s, e_1 \rangle)$ (2)
- $\wedge \quad FACT(x_ball_control(player), \langle s_2, e_2 \rangle)$ (3)
- $\wedge \quad Meets(\langle s, e_1 \rangle, \langle s_2, e_2 \rangle)$ (4)
- $\wedge \quad OCCUR(kick(player, __, __, standard), \langle s_3, e_3 \rangle)$ (5)
- $\wedge \quad (Meets(\langle s_2, e_2 \rangle, \langle s_3, e_3 \rangle) \vee BornBeforeDeathOf(\langle s_2, e_2 \rangle, \langle s_3, e_3 \rangle))$ (6)
- $\wedge \quad Meets(\langle s, e \rangle, \langle s_3, e_3 \rangle)$ (7)
- $\wedge \quad C_HOLDS(distance(ball, player, close), \langle s, e \rangle)$ (8)

(→ Konz.)